

豊橋技術科学大学工学部 ○新家 光雄 豊橋技術科学大学大学院 佐々木 伸行

豊橋技術科学大学学部 稲垣 育宏 豊橋技術科学大学工学部 小林 俊郎

1. 緒言 Ti-6Al-2Sn-4Zr-6Mo (以下 Ti-6・2・4・6) 合金は  $\beta$  リッチの ( $\alpha + \beta$ ) 型合金であり、 $\beta$  相の少ない ( $\alpha + \beta$ ) 型チタン合金に比べ高い比強度および優れた熱処理性を有する。また、クリープ特性および高温強度などに関しても優れていることが知られている。本実験では、Ti-6・2・4・6 合金につき、溶体化温度、溶体化後の冷却条件および時効条件を種々変化させた場合の機械的性質ならびに衝撃荷重下での韌性および強度特性について相変態とともに調査し、併せて、前回報告した  $\alpha$  リッチの ( $\alpha + \beta$ ) 型チタン合金である Ti-6Al-4V (以下 Ti-6・4) 合金の場合との比較検討も行った。

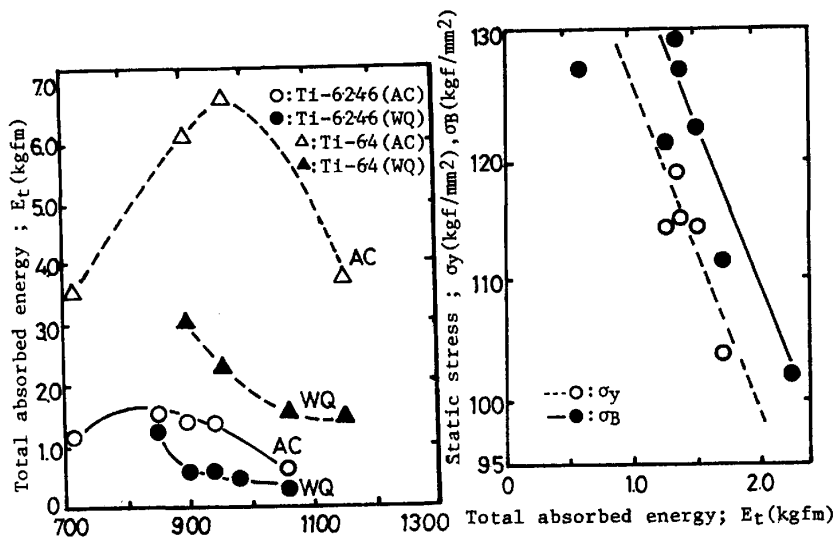
2. 実験方法 供試材は  $\phi 130\text{mm}$  の Ti-6・2・4・6

Table 1 Chemical composition (wt%).

合金鍛造丸棒で、その化学組成を Table 1 に示す。この丸棒より  $12 \times 12 \times 55\text{mm}$  の角材を採取し、真空炉中で種々の熱処理を施した。その後、所定の試験片に加工し、引張試験および計装化シャルピー衝撃試験を行った。また、試験後の試料につき、光学顕微鏡および走査型電子顕微鏡による組織観察および破面観察を行った。

3. 実験結果 (1) 本合金の静的降伏応力 ( $\sigma_y$ ) および引張強さ ( $\sigma_B$ ) は、溶体化温度  $900^\circ\text{C}$  で最高値となり、Ti-6・4 合金と比較してかなり大きな値となった。また、伸びおよび絞りについては、溶体化温度が上昇する程低くなった。(2) 溶体化温度と計装化シャルピー試験より得られた  $E_t$  値 (全吸収エネルギー値) との関係を Fig.1 に示す。 $E_t$  値は、溶体化後 AC (空冷) した場合、溶体化温度の上昇に伴い、一端上昇した後徐々に低下するが、溶体化後 WQ (水冷) した場合には、 $900^\circ\text{C}$  までの間に急激に低下する。Ti-6・4 合金の  $E_t$  値と比較すると、かなり低い値を示す。(3) 動的降伏荷重 ( $P_y$ ) および最大荷重 ( $P_m$ ) は、溶体化後の処理が AC あるいは WQ にかかわらず、溶体化温度が  $850^\circ\text{C}$  で最大となり、Ti-6・4 合金に比較して小さな値となった。(4)  $E_t$  値と静的降伏応力および引張強さとは負の相関性を示す (Fig.2) が、 $E_t$  値と動的降伏荷重および最大荷重とは正の相関性を示す (Fig.3)。

Al	Sn	Zr	Mo	N	O	H	Fe	C
6.33	2.10	4.12	6.14	0.0034	0.110	0.0057	0.071	0.008



Solution treatment temp. ( $^\circ\text{C}$ )  
Fig.1 Effect of solution treatment  
temp. on total absorbed energy ( $E_t$ ).

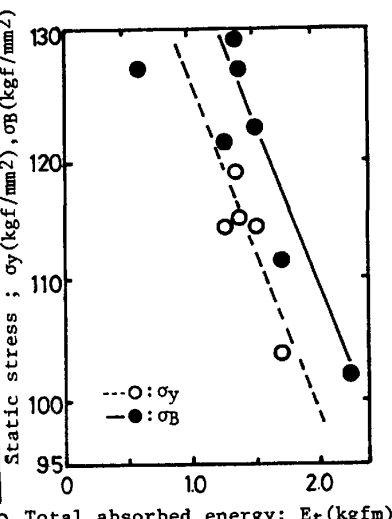


Fig.2 Relation between static  
yield stress ( $\sigma_y$ ) or tensile  
stress ( $\sigma_B$ ) and total absorbed  
energy ( $E_t$ ).

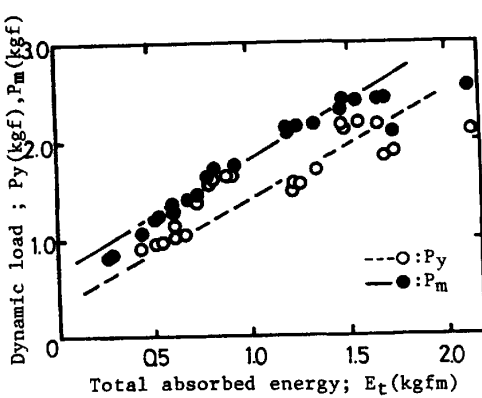


Fig.3 Relation between dynamic  
yield load ( $P_y$ ) or maximum load ( $P_m$ )  
and total absorbed energy ( $E_t$ ).